

# ارائه‌ی دو روش فرایانه‌ی برای مسئله‌ی چند‌هدفه‌ی موازنه‌ی زمان - هزینه - کیفیت پروژه در حالت گستته با محدودیت‌های پیش‌نیازی تعمیم‌یافته

علیرضا عبدی\* (استادیار)

هیوا فاروقی (استادیار)

فرید عبدی (کارشناس ارشد)

گروه مهندسی صنایع، دانشگاه کردستان

پژوهش‌های انجام شده در حوزه‌ی مدیریت پروژه‌ها عمده‌تاً بر موازنه‌ی زمان - هزینه تمرکز داشته‌اند، اما اخیراً عامل کیفیت به عنوان یکی از معیارهای اساسی موقوفیت پروژه بسیار مورد توجه است. از این رو در این تحقیق، مدل جدیدی برای مسئله‌ی موازنه‌ی زمان - هزینه - کیفیت در حالت گستته پیشنهاد شده که برخلاف مدل‌های سنتی که در آن‌ها تنها یک نوع رابطه‌ی پیش‌نیازی بین فعالیت‌ها وجود دارد، روابط وابستگی بین فعالیت‌ها از نوع روابط پیش‌نیازی تعمیم‌یافته است و لحاظ کردن این نوع روابط علی‌رغم پیچیده‌تر کردن مسائل، ما را به دنیای واقعیت نزدیکتر می‌سازد. بدلیل NP-hard بودن این دسته از مسائل و ضرورت استفاده از الگوریتم‌های ابتکاری و فرایانه‌ی برای این مقاله از دو الگوریتم<sup>۱</sup> NSGA-II و<sup>۲</sup> Fast PGA استفاده شده که کارایی آن‌ها با چندین معیار که بر کیفیت و تنوع جواب‌ها تأکید دارند، مورد مقایسه قرار گرفته است.

alireza.eydi@uok.ac.ir  
h.faroughi@uok.ac.ir  
abdi.farid@yahoo.com

وازگان کلیدی: مدیریت پروژه، موازنه‌ی زمان - هزینه - کیفیت، روابط پیش‌نیازی تعمیم‌یافته، مسائل چند‌حالته، الگوریتم‌های فرایانه‌ی Fast PGA و NSGA-II.

## ۱. مقدمه

چالشی سخت است؛ به‌همین دلیل موازنه‌ی زمان - هزینه مورد توجه قرار گرفت. در عمل، یکی از معیارهای اساسی برای موقوفیت پروژه کیفیت انجام آن است که ممکن است تحت تأثیر تسریع زمان تکمیل پروژه با هزینه‌های اضافی قرار گیرد. هدف مسائل موازنه‌ی زمان - هزینه - کیفیت انتخاب مجموعه‌یی از فعالیت‌ها برای تسریع و همچنین انتخاب روش اجرای مناسب برای هر فعالیت است، به نحوی که هزینه و زمان پروژه کمینه و کیفیت آن بیشینه شود. از سوی دیگر، در مدل‌های سنتی CPM فقط یک نوع رابطه بین فعالیت‌های سری وجود دارد. تمامی فعالیت‌هایی که به یک رویداد می‌رسند باید به‌طور کامل اجرا شده باشند تا فعالیت‌هایی خروجی از آن رویداد قابل شروع شدن باشند؛ این نوع ارتباط زمانی را ارتباط پایان به آغاز می‌نامند. در اجرای پروژه‌ها علاوه بر این ارتباط ممکن است سه نوع ارتباط زمانی دیگر بین فعالیت‌ها وجود داشته باشد. به هر یک از این رابطه‌ها می‌توان یک مقدار عددی نیز اضافه کرد. این مقدار عددی عبارت است از فاصله‌ی زمانی که باید بین لحظات «پایان به آغاز»، «پایان به پایان»، «آغاز به آغاز» یا «آغاز به پایان» دو فعالیت وجود داشته باشد. این مقدار عددی را «وقفه<sup>۳</sup>» می‌نامند.

برای حل مسائل چند‌هدفه تکنیک‌های متعددی وجود دارد که در دو گروه «روش‌های عددی» و «روش‌های پارتویی» دسته‌بندی می‌شوند. روش‌های عددی

زمان کوتاه‌تر، هزینه‌ی کم‌تر و کیفیت بالاتر اهداف اصلی هر پروژه‌اند و همواره بر یکدیگر تأثیرگذارند. یکی از جنبه‌های مهم مدیریت پروژه، درک اطلاعاتی مناسب از تعامل بهینه‌ی این اهداف است. در اوخر سال ۱۹۵۰ روش مسیر بحرانی (CPM)<sup>۴</sup> به عنوان ابزاری سودمند در برنامه‌ریزی و زمان‌بندی پروژه‌ها معرفی شد. در محاسبات این روش فرض بر این است که همه‌ی فعالیت‌ها در زمان پیش‌بینی شده و معمول خود قابل انجام است، اما در مواردی لازم می‌شود پروژه حتی زودتر از زمان برنامه‌ریزی شده به اتمام برسد. این تاریخ معمولاً از طرف کارفرما یا مدیریت رده بالا براساس اهداف یا سیاست‌های مختلف تعیین می‌شود. برای دست‌یابی به زمان تکمیل زودتر، باید زمان تعدادی از فعالیت‌ها را کاهش داد. این کاهش زمان تؤمن با افزایش منابع کاری و صرف هزینه است که آن را انجام ضریبی یا «فشرده‌سازی زمان فعالیت<sup>۵</sup>» می‌گویند. از طرف دیگر، انجام فعالیت‌ها در زمان طولانی‌تر، معمولاً سبب کاهش هزینه‌های فعالیت می‌شود اما ممکن است به افزایش زمان پروژه که احتمالاً جریمه‌هایی در بر دارد منجر شود. تصمیم جامع و دقیق در ارتباط با این منافع و جریمه‌ها برای مدیران

\* نویسنده مسئول

تاریخ: دریافت ۱۲/۱/۱۳۹۲، صلاحیه ۲۱/۹/۱۳۹۳، پذیرش ۱۰/۱/۱۳۹۳.

فرمولاسیون برنامه‌ریزی ریاضی نیز ارائه شده است.<sup>[۴]</sup> محققین محدودیت‌های زمان تعویض<sup>[۵]</sup> را در مسئله‌ی موازنی زمان - هزینه تعریف کردند<sup>[۶]</sup> که با لحاظکردن شیفت‌های کاری مختلف، زمان‌های شروع خاصی را به مسئله تحمیل می‌کنند. با بو و سورش<sup>[۷]</sup> نخستین محققان بودند که بیان کردند کیفیت کلی انجام پروژه ممکن است تحت تأثیر ترتیب خطی با تغییر در زمان تکمیل پروژه تغییر می‌ابد. و کیفیت هر فعالیت به صورت خطی با تغییر در زمان تکمیل پروژه تغییر می‌کند. آن‌ها فرض کردند که هزینه شروع ممکن است تحت تأثیر ترتیب خطی با تغییر در زمان تکمیل پروژه تغییر می‌کند. آن‌ها هر هدف را با اختصاص سطوح مطلوب روی اهداف دیگر بهینه ساختند. بعد از مدل پیشنهادی در یک پروژه‌ی واقعی ساخت کارخانه‌ی سیمان در تایلند به کار گرفته شد.<sup>[۸]</sup> با بررسی مسئله‌ی موازنی زمان - هزینه - کیفیت در حالت گسته (DTCTP)<sup>[۹]</sup>، محققین از یک مثال دنیای واقعی استفاده کردند<sup>[۱۰]</sup> و تابع جدیدی برای لحاظکردن کیفیت ساخت در مسائل بهینه‌سازی زمان، هزینه و کیفیت در صنایع ساخت و ساز پیشنهاد کردند. مسئله‌ی DTCTP با دیگر مورد بررسی قرار گرفت<sup>[۱۱]</sup> و مدل‌های برنامه‌ریزی خطی صفر و ۱ وابسته به هم، با فرض این که هر فعالیت در حالت‌های مختلف ممکن است انجام گیرد و همچنین زمان و کیفیت هر فعالیت گسته و تابع غیرآفایشی از یک منبع تجدیدناپذیر است، توسعه یافت. بعد از این کاری مختلف راه‌های فرآیند کاری مختلفی برای حل این مسئله توسعه یافت. همچنین متاهیوریستیکی مبتنی بر الگوریتم زنگیک برای حل این مسئله و یافتن جواب‌های پارتویی پیشنهاد شد.<sup>[۱۲]</sup> عده‌ی از محققین نیز مسئله‌ی موازنی زمان - هزینه گسته با محدودیت کیفیت و منابع را در نظر گرفتند<sup>[۱۳]</sup> که شامل محدودیت‌های کیفیت، منابع تجدیدپذیر و تجدیدناپذیر می‌شد. عده‌ی دیگر نیز با استفاده از برنامه‌ریزی تصادفی چند‌دهفه<sup>[۱۴]</sup> به حل مسئله‌ی موازنی زمان - هزینه - کیفیت پرداختند. در این راستا، یک رویکرد بهینه‌سازی فازی چند‌دهفه از دحام ذرات را برای حل مسئله‌ی موازنی زمان - هزینه - کیفیت پیشنهاد شد<sup>[۱۵]</sup> که در آن زمان، هزینه و کیفیت به‌وسیله‌ی اعداد فازی توصیف شده است. همچنین مدلی برای حل آن بهترین زوج‌های مربوط به زمان و هزینه هر فعالیت برای کمینه کردن هزینه کل پروژه با محدودیت موعد تحویل را می‌توان یافت. شکل‌های ارائه شد<sup>[۱۶]</sup> که در آن بهترین زوج‌های مربوط به زمان و هزینه هر فعالیت برای کمینه کردن هزینه کل پروژه با محدودیت موعد تحویل را می‌توان یافت. در این مطالعات توابع اعداد کلاسیک، و کیفیت آن به‌وسیله‌ی متغیرهای زبانی توصیف می‌شود. برای حل آن مدل یک الگوریتم جدید فرآیندکاری زنگیک هیبریدی توسعه داده شد.

### ۳. فرمول‌بندی مسئله

در اینجا پروژه به عنوان یک گراف جهت دار  $(V, E)$  تعریف می‌شود که در آن  $V$  بیان‌گر مجموعه‌ی گره‌ها (فعالیت‌های پروژه) و  $E$  بیان‌گر مجموعه‌ی کمان‌ها (روابط پیش‌نیازی فعالیت‌ها) است. پروژه با شبکه‌ی گرهی (AON) نمایش داده می‌شود. مجموعه‌ی کمان‌های  $E$  خود به  $\Delta$  دسته  $E_{SS}^{\min}, E_{SF}^{\max}, E_{SF}^{\min}, E_{SS}^{\max}, E_{FF}^{\min}, E_{FF}^{\max}$  تقسیم می‌شود که نشان‌دهنده مجموعه‌ی کمان‌های با روابط پیش‌نیازی شروع به شروع، شروع به پایان، پایان به شروع و پایان به پایان از نوع کمینه یا بیشینه هستند.

برای فعالیت  $V \in \Delta$  در پروژه،  $M_i$  مجموعه‌ی حالت‌های مختلف اجرای فعالیت  $\Delta$  است که در آن برای هر حالت اجرای مانند  $k$ ، یک ترکیب سه‌تایی  $(t, c, q)$  معرفی می‌شود که به ترتیب بیان‌گر زمان، هزینه و کیفیت یک فعالیت در آن حالت اجراست، به‌گونه‌ی که  $t \in Z, c \in Z, q \in Z$  و  $0 \leq q \leq 100$  مجموعه اعداد صحیح است.

با این فرض که اگر  $r$  و  $k$  دو حالت اجرا برای انجام فعالیت  $\Delta$  باشند به‌طوری که  $k < r$ ، آنگاه هدف دست‌یابی به

مسئله چند‌دهفه را با استفاده از تبدیلات ریاضی به مسائل تک‌دهفه تبدیل می‌کنند. روش‌های پارتو از مفهوم مجموعه‌های غالب برای یافتن جواب‌های پارتویی استفاده می‌کنند. از آنجا که مسئله‌ی موازنی زمان - هزینه - کیفیت در حالت گسته در رده‌ی مسائل NP-hard قرار دارد، با افزودن محدودیت‌های پیش‌نیازی تعیین یافته بر پیچیدگی مسئله افزوده می‌شود. لذا برای به دست آوردن جواب‌های قابل قبول در زمان‌های منطقی باید از الگوریتم‌های ابتکاری یا فرآیندکاری برای حل آن استفاده شود. بدین منظور در نوشتار حاضر برای حل مسئله از دو الگوریتم NSGA-II و FastPGA استفاده شده است که نتایج حاصل از آن‌ها با بهره‌گیری از یک سری شاخص‌ها بر کیفیت و گسترش جواب‌ها تأکید دارند مقایسه شده است.

ساختر نوشتار حاضر چنین است: بخش دوم مقاله به مرور ادبیات اختصاص دارد و در بخش سوم، فرمول‌بندی مدل مسئله ارائه شده است. در بخش چهارم روش‌های ممکن برای حل مدل، و نیز معیارهای ارزیابی و مقایسه‌ی این روش‌ها شرح می‌شود. در بخش پنجم به نتایج محاسباتی خواهیم پرداخت و نهایتاً در بخش ششم جمع‌بندی و نتیجه‌گیری حاصله ارائه می‌شود.

## ۲. پیشینه‌ی تحقیق

با فرض تغییر هزینه‌ی مسئله یک فعالیت به‌دلیل تغییر زمان اجرای آن، مدل‌های برنامه‌ریزی ریاضی برای کمینه‌کردن هزینه‌های مسئله ارائه شده است. این مسائل در ادبیات موضوع به عنوان مسائل موازنی زمان - هزینه‌ی پیوسته شناخته می‌شود. در مطالعه‌ی نخستین این مسئله، یک رابطه‌ی خطی بین زمان و هزینه‌ی یک فعالیت در نظر گرفته شد و یک مدل ریاضی و همچنین یک الگوریتم هیوریستیک برای حل آن پیشنهاد شد. سپس روش حلی برای یافتن منحنی موازنی زمان - هزینه ارائه شد<sup>[۱۷]</sup> که در آن بهترین زوج‌های مربوط به زمان و هزینه هر فعالیت برای کمینه کردن هزینه کل پروژه با محدودیت موعد تحویل را می‌توان یافت. شکل‌های دیگری از توابع هزینه‌ی فعالیت نیز مورد مطالعه قرار گرفت. در این مطالعات توابع به صورت محدب و مقعر در نظر گرفته شد<sup>[۱۸]</sup> و منحنی هزینه - زمان با قطعه‌های خطی تقریب زده شد و برای حل آن کوشیدند. ایده‌ی تقریب منحنی هزینه - زمان مقعر با قطعه‌های خطی<sup>[۱۹]</sup> نیز در دستورالعمل شاخه و کران مورد استفاده قرار گرفت.

در بسیاری از موارد عملی، منابع در واحدهای گسته در دسترس‌اند. مسائل مربوط به این حوزه در ادبیات موضوع، تحت عنوان مسائل با چندین حالت اجرا برای فعالیت‌ها یا مسائل موازنی زمان - هزینه‌ی گسته (DTCTP)<sup>[۲۰]</sup> شناخته می‌شود. مسئله‌ی DTCTP اولین بار توسط هیندلانگ و موث<sup>[۲۱]</sup> معرفی شد و برای چندین سال مورد توجه قرار گرفت؛ این مسئله یک مسئله‌ی NP-hard است.<sup>[۲۲]</sup> در مطالعات اخیر در زمینه‌ی DTCTP توجه زیادی به الگوریتم‌های حل -- که به دو دسته الگوریتم‌های دقیق و الگوریتم‌های ابتکاری دسته‌بندی می‌شود -- شده است. الگوریتم‌های دقیق مبتنی بر برنامه‌ریزی پویا، الگوریتم‌های شمارشی یا الگوریتم‌های شاخه و کران هستند. نمونه‌ی از یک الگوریتم فرآیندکاری برای حل DTCTP مورد مطالعه‌ی محققین قرار گرفته است.<sup>[۲۳]</sup> بعد از مطالعه‌ی DTCTP نیز به توسعه‌ی مدل ریاضی DTCTP پرداختند. برای مسائل استاندارد چندحالته یک مدل برنامه‌ریزی صفر و ۱ معرفی شد<sup>[۲۴]</sup> که در آن، برخلاف مسائل موازنی زمان - هزینه، از چندین منبع (تجدیدپذیر و تجدیدناپذیر) استفاده می‌شود. ادبیات موجود شامل تعدادی تلاش‌های پژوهشی برای توسعه‌ی مسائل چندحالته‌ی استاندارد با روابط پیش‌نیازی تعیین‌بافته (GPRs)<sup>[۲۵]</sup> است؛ برای این مسئله یک

$$\begin{aligned} \min T &= S_n + \sum_{k=1}^{|M_i|} t_{nk} x_{nk} \\ \min \sum_{i=1}^n \sum_{k=1}^{|M_i|} c_{ik} x_{ik} &+ C_I T \\ \max \sum_{i=1}^n w_i \sum_{l=1}^L \sum_{k=1}^{|M_i|} w_{il} q_{ikl} x_{ik} \end{aligned}$$

s.t.

$$\sum_{k=1}^{|M_i|} x_{ik} = 1 \quad \forall i \in V \quad (4)$$

$$S_i + SS_{ij}^{\min} \leq S_j \quad \forall (i, j) \in E_{SS}^{\min} \quad (5)$$

$$S_i + SS_{ij}^{\max} \geq S_j \quad \forall (i, j) \in E_{SS}^{\max} \quad (6)$$

$$S_i + SF_{ij}^{\min} \leq S_j + \sum_{k=1}^{|M_j|} t_{jk} x_{jk} \quad \forall (i, j) \in E_{SF}^{\min} \quad (7)$$

$$S_i + SF_{ij}^{\max} \geq S_j + \sum_{k=1}^{|M_j|} t_{jk} x_{jk} \quad \forall (i, j) \in E_{SF}^{\max} \quad (8)$$

$$S_i + FS_{ij}^{\min} + \sum_{k=1}^{|M_i|} t_{ik} x_{ik} \leq S_j \quad \forall (i, j) \in E_{FS}^{\min} \quad (9)$$

$$S_i + FS_{ij}^{\max} + \sum_{k=1}^{|M_i|} t_{ik} x_{ik} \geq S_j \quad \forall (i, j) \in E_{FS}^{\max} \quad (10)$$

$$S_i + FF_{ij}^{\min} + \sum_{k=1}^{|M_i|} t_{ik} x_{ik} \leq S_j + \sum_{k=1}^{|M_j|} t_{jk} x_{jk} \quad \forall (i, j) \in E_{FF}^{\min} \quad (11)$$

$$S_i + FF_{ij}^{\max} + \sum_{k=1}^{|M_i|} t_{ik} x_{ik} \geq S_j + \sum_{k=1}^{|M_j|} t_{jk} x_{jk} \quad \forall (i, j) \in E_{FF}^{\max} \quad (12)$$

$$S_i \geq 0 \quad \forall i \in V, \text{ Integer} \quad (13)$$

$$x_{ik} \in \{0, 1\} \quad \forall i \in V, k \in M_i \quad (14)$$

در این مدل سه تابع هدف داریم که آن‌ها را به موازات هم بهینه می‌کنیم. تابع هدف اول با همان رابطه‌ی ۱، زمان کل انجام پروژه و هدف دوم (رابطه‌ی ۲) کل هزینه‌های پروژه شامل هزینه‌های مستقیم و هزینه‌های غیرمستقیم را بهینه می‌کند. تابع هدف ۳ کیفیت کلی انجام پروژه را با توجه به شاخص‌های کیفیت، وزن این شاخص‌ها و همچنین میزان اهمیت هر فعالیت بیشینه می‌کند.

محدودیت ۴ تضمین می‌کند که یک و فقط یک حالت اجرا به هر فعالیت تخصیص یابد. محدودیت‌های ۵ تا ۱۲ محدودیت‌های پیش‌نیازی تعیین یافته را نشان می‌دهند. محدودیت ۱۳ تضمین می‌کند که متغیر تصمیم  $S_i$  یک مقدار صحیح غیر صفر می‌گیرد و محدودیت ۱۴ بیان‌گر صفر و ۱ بودن متغیر  $x_{ik}$  است. لازم به ذکر است که متغیر تصمیم  $S_i$  وابسته به متغیر تصمیم  $x_{ik}$  است و با مشخص شدن حالت‌های اجرایی فعالیت‌ها، زمان‌های شروع آن‌ها از طریق روابط پیش‌نیازی به دست می‌آید.

می‌شود:

ترکیب بهینه ( $t_{ik}, c_{ik}, q_{ik}$ ) مربوط به هر فعالیت است به نحوی که زمان و هزینه‌ی پروژه کمینه و کیفیت آن بیشینه شود. کیفیت انجام هر فعالیت تابعی از تعدادی شاخص کیفیت است که وزن هر کدام از این شاخص‌ها در حالت‌های مختلف اجرای

یک فعالیت متفاوت است. مجموع وزنی این شاخص‌ها، کیفیت کلی حالت اجرای فعالیت را نشان می‌دهد. روابط بین فعالیت‌ها را از نوع روابط پیش‌نیازی تعیین یافته، وزن و کیفیت هر فعالیت را به صورت گستته و تابعی از یک منع تجدید تا پذیر در نظر می‌گیریم. نحوه نمادگذاری برای بیان مدل ریاضی در ادامه تشریح شده است.

### ۱.۳. مجموعه‌ی اندیس‌ها

:  $V = \{1, 2, \dots, n\}$  مجموعه‌ی گره‌ها (فعالیت‌ها)،  $E$  مجموعه‌ی کمان‌ها؛

:  $E_{SS}^{\min}$  مجموعه‌ی حاصل از روابط پیش‌نیازی  $SS$  از نوع کمینه؛

:  $E_{SS}^{\max}$  مجموعه‌ی حاصل از روابط پیش‌نیازی  $SS$  از نوع بیشینه؛

:  $E_{SF}^{\min}$  مجموعه‌ی حاصل از روابط پیش‌نیازی  $SF$  از نوع کمینه؛

:  $E_{SF}^{\max}$  مجموعه‌ی حاصل از روابط پیش‌نیازی  $SF$  از نوع بیشینه؛

:  $E_{FS}^{\min}$  مجموعه‌ی حاصل از روابط پیش‌نیازی  $FS$  از نوع کمینه؛

:  $E_{FS}^{\max}$  مجموعه‌ی حاصل از روابط پیش‌نیازی  $FS$  از نوع بیشینه؛

:  $E_{FF}^{\min}$  مجموعه‌ی حاصل از روابط پیش‌نیازی  $FF$  از نوع کمینه؛

:  $E_{FF}^{\max}$  مجموعه‌ی حاصل از روابط پیش‌نیازی  $FF$  از نوع بیشینه؛

:  $M_i$  مجموعه‌ی حالت‌های اجرا برای فعالیت  $i$ ,  $i \in V$ .

### ۲.۳. پارامترها

:  $t_{ik}$  زمان انجام فعالیت  $i$  در حالت  $k$ ,  $k = 1, \dots, |M_i|$

:  $c_{ik}$  هزینه‌ی انجام فعالیت  $i$  در حالت  $k$ ,  $k = 1, \dots, |M_i|$

:  $q_{ikl}$  شاخص کیفیت  $l$  در انجام فعالیت  $i$  در حالت  $k$ ,  $k = 1, \dots, |M_i|$ ,  $l = 1, \dots, L$

:  $Q_i$  کلان پایین کیفیت فعالیت  $i$ ؛

:  $w_i$  وزن فعالیت  $i$ ؛

:  $w_{il}$  وزن شاخص کیفیت  $l$  برای فعالیت  $i$ ؛

:  $C_I$  هزینه‌های غیر مستقیم پروژه؛

:  $SS_{ij}^{\min}$  رابطه‌ی پیش‌نیازی  $SS$  بین فعالیت‌های  $i$  و  $j$  از نوع کمینه؛

:  $SS_{ij}^{\max}$  رابطه‌ی پیش‌نیازی  $SS$  بین فعالیت‌های  $i$  و  $j$  از نوع بیشینه؛

:  $SF_{ij}^{\min}$  رابطه‌ی پیش‌نیازی  $SF$  بین فعالیت‌های  $i$  و  $j$  از نوع کمینه؛

:  $SF_{ij}^{\max}$  رابطه‌ی پیش‌نیازی  $SF$  بین فعالیت‌های  $i$  و  $j$  از نوع بیشینه؛

:  $FS_{ij}^{\min}$  رابطه‌ی پیش‌نیازی  $FS$  بین فعالیت‌های  $i$  و  $j$  از نوع کمینه؛

:  $FS_{ij}^{\max}$  رابطه‌ی پیش‌نیازی  $FS$  بین فعالیت‌های  $i$  و  $j$  از نوع بیشینه؛

:  $FF_{ij}^{\min}$  رابطه‌ی پیش‌نیازی  $FF$  بین فعالیت‌های  $i$  و  $j$  از نوع کمینه؛

:  $FF_{ij}^{\max}$  رابطه‌ی پیش‌نیازی  $FF$  بین فعالیت‌های  $i$  و  $j$  از نوع بیشینه.

### ۳. متغیرهای تصمیم

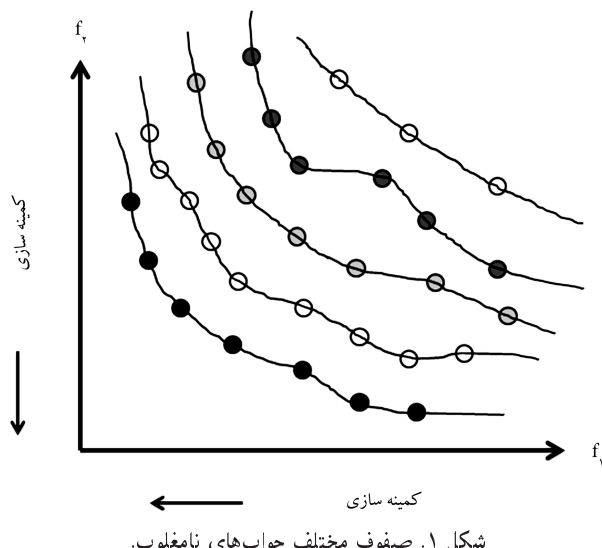
:  $S_i$  زمان شروع فعالیت  $i$ ؛

:  $x_{ik}$  اگر فعالیت  $i$  در حالت  $k$  انجام شود = ۱ و در غیر این صورت = ۰.

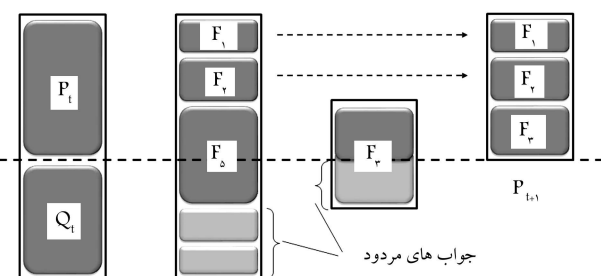
: مدل مسئله‌ی مورد نظر در قالب یک مدل برنامه‌ریزی عدد صحیح چنین بیان

#### ۴. روش های ارزیابی

روش های حل مسائل چند هدفه به روش های کلاسیک و تکاملی تقسیم می شوند. نقاط ضعف روش های کلاسیک عبارت است از: دست یابی به تنها یک جواب بهینه در هر مرحله و نیافتن تمامی جواب های بهینه در بهینه یابی چند هدفه. برای غلبه بر این موضوع، محققین از روش های تکاملی که قابلیت یافتن چندین راه حل بهینه در یک اجرا را دارند، استفاده می کنند. الگوریتم های زنگنه خانواده بی از الگوریتم های ابتکاری برمبای جستجوی تصادفی و ابزاری قوی برای حل مسائل بهینه سازی بزرگ مقیاس اند. از بین الگوریتم های زنگنه، الگوریتم زنگنه مرتب سازی نامغلوب ۲ به دلیل پیچیدگی محاسباتی کمتر و استفاده از عملکرد بهتری نسبت به NSGA-II درآمد. در ادامه به تشریح هر دو روش پرداخته ایم.



مرتب سازی براساس فاصله ازدحامی



اگر  $P_t$  جمعیت نسل فعلی و  $Q_t$  جمعیت فرزندان باشد که با استفاده از عملکردهای تقطیر و جهش ایجاد شده اند، برای ایجاد نسل بعدی یا  $P_{t+1}$ ، ابتدا جواب های  $P_t$  و  $Q_t$  با هم ادغام می شوند و سپس روی این جمعیت ادغامی با استفاده از عملکرد رتبه بندی و پس از آن فاصله ای ازدحامی، مرتب شده اند. در نهایت به تعداد اندازه جمعیت از جواب های مرتب شده اول مستقیماً می گیرد. در نهایت به تعداد منقل می شود و مابقی جواب ها حذف می شود. درواقع الگوریتم با نسل بعد منقل می شود و مابقی جواب ها حذف می شود. درواقع الگوریتم با استفاده از اهمیت بالایی که به رتبه ای جواب ها و اهمیت نسبی کمتری که به فاصله ای ازدحامی می دهد، بین کیفیت و نظم توازن برقرار می کند. در شکل ۲ شماتیک تولید نسل بعدی در الگوریتم NSGA-II نشان داده شده است.

#### ۴.۲. الگوریتم FastPGA

این الگوریتم برای بهینه سازی همزمان چندین هدف که در آن ها ارزیابی جواب ها به لحاظ محاسباتی یا مالی هزینه بر هستند، ارائه شد. در این الگوریتم عملکردهای زنگنه کی جدیدی به منظور ارتقای عملکرد آن در ارتباط با نحوه رتبه بندی و همچنین رفتار همگرایی و تلاش های محاسباتی به کار گرفته شده است، چرا که همگرایی سریع در حل مسائل بهینه سازی چند هدفه پرهزینه و مسائلی که فضای جواب بسیار گستردگی دارند، مطلوبیت زیادی به همراه دارد. هدف FastPGA یافتن جواب های بهینه ای پارتویی است که علاوه بر توزیع و گستردگی مناسب در فضای جواب، از نظر محاسباتی معقول و به صرفه باشد.

#### ۴.۱. الگوریتم NSGA-II

در روش های هوشمند و تکاملی برخلاف روش های پردازش عددی می توان با یک بار اجرا مسئله بینه سازی چند هدفه را حل کرد. از آنجا که در مسائل چند هدفه امکان بهینه گی یک راه حل واحد در تمام اهداف و به طور همزمان وجود ندارد، الگوریتمی که تعداد راه حل هایی را روی پارتو یا نزدیک به پارتو ارائه می دهد ارزش عملی بالایی دارد. در واقع مشکلی که در بحث بهینه سازی چند هدفه وجود دارد بحث مرتب سازی جواب هاست که با استفاده از الگوریتم NSGA این مشکل رفع شد. این الگوریتم فضای بهینه سازی چند هدفه را که یک فضای مرتب پذیر نیست به یک فضای مرتب شدنی تبدیل می کند. بعد از اینکه دوم الگوریتم بهینه سازی زنگنه نامغلوب یا NSGA-II ارائه شد<sup>[۱۰]</sup> که در آن علاوه بر کیفیت جواب ها، تنوع و گوناگونی جواب های بهینه ای پارتویی نیز مورد توجه قرار گرفت.

الگوریتم NSGA-II دو فاز شناخته شده دارد، فاز اول در رابطه با کیفیت جواب ها و فاز دوم مربوط به نظم آن هاست. در فاز اول رتبه بندی جواب ها تعیین می شود که همان شناسایی جبهه های<sup>۱۰</sup> مختلف است؛ برای این امر دو مقدار محاسبه می شود: ۱. تعداد دفعاتی که یک جواب مغلوب می شود؛ ۲. مجموعه ای جواب هایی که جواب فعلی بر آن ها غلبه می کند. برای تعیین این دو مقدار باید تمامی جواب ها با یکدیگر مقایسه شود. جواب هایی که تعداد دفعات مغلوب شدن شان صفر است جواب های نامغلوب و تقریباً از جبهه ای پارتو هستند؛ این جواب ها را جبهه ای اول ( $F_1$ ) می نامیم. برای شناسایی جواب های جبهه ای دوم، ابتدا از تعداد دفعات مغلوب شدن همه ای جواب ها مقدار ۱ را کم می کنیم، سپس جواب هایی را که مقدار مربوط به تعداد دفعات مغلوب شدن شان به صفر رسیده به عنوان جبهه ای دوم در نظر می گیریم. این فرایند تا شناسایی تمامی جبهه ها تکرار می شود (شکل ۱).

در فاز دوم از معیار فاصله ای ازدحامی<sup>۱۱</sup> که نشان گر فاصله بین تمامی جواب های همسطح (جواب های واقع در یک جبهه) است، استفاده می کنیم. هر قدر فاصله ای ازدحامی نقاط انتخابی بیشتر باشد (در نواحی کم جمعیت تری قرار گرفته باشند)، این نقاط به تنوع<sup>۱۲</sup> کمک بیشتری می کنند. در مقایسه دو جواب مختلف، با دو حالت مواجه ایم: ۱. بین دو راه حل با رتبه های مختلف، راه حل با رتبه ای پایین تر برتری دارد؛ ۲. اگر دو راه حل متعلق به یک جبهه باشند، راه حل با مقدار فاصله

از رابطه‌ی ۱۷ استفاده می‌کند:

$$|P_t| = \min\{a_t + \lceil b_t \times |\{x_i | x_i \in CP_t \wedge x_i \text{ is nondominated}\}| \rceil, \text{maxpopsize}\} \quad (17)$$

که در آن  $|P_t|$  اندازه جمعیت در نسل  $t$  است، مقادیر  $a_t$  و  $b_t$  نیز به ترتیب مقادیر صحیح مثبت و حقیقی مثبت هستند که ممکن است در طول نسل‌های مختلف تغییر کند،  $[x]$  کوچک‌ترین عدد صحیح بزرگ‌تر یا مساوی با مقدار حقیقی  $x$  است و  $\text{maxpopsize}$  بیان‌گر بیشترین اندازه جمعیت از پیش تعیین شده است.

الگوریتم FastPGA برخلاف بسیاری از روش‌های بهینه‌سازی تکاملی دیگر، از مزایای بدکارگیری اندازه فرزندان تولید شده از طریق عملگرهای تقاطع و جهش به صورت پویا بهره می‌جوئد. تعداد فرزندان تولید شده در هر نسل از طریق رابطه‌ی ۱۸ محاسبه می‌شود:

$$|O_t| = \min\{c_t + \lceil d_t \times |\{x_i | x_i \in CP_t \wedge x_i \text{ is nondominated}\}| \rceil, \text{maxsoleval}\} \quad (18)$$

که در آن  $|O_t|$  اندازه جمعیت فرزندان تولید شده در نسل  $t$ ، مقادیر  $c_t$  و  $d_t$  به ترتیب مقادیر صحیح مثبت و حقیقی مثبت و  $\text{maxsoleval}$  بیان‌گر بیشینه تعداد ارزیابی جواب‌ها در هر نسل است. این ویژگی پویا بودن، FastPGA را قادر می‌سازد تا در تعداد قابل توجه ارزیابی جواب‌ها در ابتدای جست‌وجو صرف‌جویی به عمل آورد و استخراج<sup>۱۴</sup> را در یک رفتار کارا در نسل‌های بعد به کار گیرد.

### ۳.۴. عملگرهای مورد استفاده در دو الگوریتم

#### ۳.۴.۱. نحوه نمایش جواب

در مسائل موازنه زمان - هزینه - کیفیت برای هر فعالیت چندین حالت اجرا وجود دارد که باید فقط یک حالت اجرا از بین آن‌ها انتخاب شود. لذا در اینجا به نوع نمایشی نیاز داریم که برای هر فعالیت، یک حالت اجرا را از بین حالت‌های اجرای ممکن و مجاز نمایش دهد. مناسب‌ترین نوع نمایش برای این دسته از مسائل نمایش عدد صحیح است به‌طوری که یک کروموزوم مجموعه‌ی از مقادیر عدد صحیح (زن‌ها) است که نشان‌دهنده حالت‌های اجرای انتخابی برای فعالیت‌های یک مسئله است. در شکل ۳ یک نمایش از یک جواب‌شدنی برای مسئله‌ی با<sup>۱۵</sup> فعالیت نشان داده شده است. برای نمونه، عدد ۳ در موقعیت زن دوم به معنی انتخاب حالت اجرای ۳ برای فعالیت دوم است.

#### ۳.۴.۲. محاسبه‌ی توابع هدف

مقایسه‌ی جواب‌های مختلف با یکدیگر و رتبه‌بندی آن‌ها براساس محاسبه‌ی مقادیر توابع هدف صورت می‌گیرد. در واقع براساس قانون غلبه، هنگامی یک جواب بر جواب دیگر ارجحیت دارد که در هیچ‌کدام از توابع مربوط به زمان، هزینه و کیفیت از جواب دیگر بدتر نباشد و دست کم در یکی از این اهداف از جواب دیگر بهتر باشد.

#### ۳.۴.۳. عملگر تقاطع

عملگر تقاطع وابسته به نوع نمایش است و برای نمایش‌های مختلف، عملگرهای متفاوتی باید تعریف شود. در اینجا با توجه به نوع نمایش، از تقاطع یکنواخت<sup>۱۵</sup>

۴	۳	۱	۲	۴	۳	۵	۴	۲	۱
---	---	---	---	---	---	---	---	---	---

شکل ۳. مثالی از نحوه نمایش مسئله‌ی مدل شده.

#### ۲.۴. رتبه‌بندی جواب‌ها و تخصیص مقدار شایستگی به جواب‌ها

استراتژی جدید رتبه‌بندی معرفی شده در این الگوریتم، جواب‌های کاندید را به دو رتبه‌ی مختلف مبتنی بر روی کرد غلبه تقسیم می‌کند. ابتدا تمامی جواب‌های نامغلوب به عنوان جواب‌های رتبه اول و جواب‌های مغلوب به عنوان جواب‌های رتبه دوم شناسایی می‌شود؛ سپس مقدار شایستگی جواب‌های رتبه اول از طریق مقایسه‌ی تمام جواب‌های نامغلوب با استفاده از فاصله‌ی ازدحامی تخصیص می‌باید. هر جواب مغلوب در دسته‌ی دوم با تمام جواب‌های دیگر (شامل جواب‌های غالب و مغلوب) در جمعیت مقایسه می‌شود و یک مقدار شایستگی براساس تعداد جواب‌هایی که مغلوب می‌سازد به آن تعلق می‌گیرد. در اینجا به هر جواب  $x_i$  در جمعیت یک مقدار توان خالص<sup>۱۳</sup> ( $S(x_i)$ ) تعلق می‌گیرد که نشان‌دهنده تعداد جواب‌هایی است که مغلوب می‌سازد (رابطه‌ی ۱۵).

$$S(x_i) = |\{x_j | \forall x_j \in CP_t \wedge x_i \succ x_j \wedge j \neq i\}| \quad (15)$$

کار دینال یک مجموعه با  $|.|$  نشان داده می‌شود.  $CP_t$  مجموعه جواب‌های نسل  $t$  است و عبارت  $x_j > x_i$  به این معنی است که جواب  $x_i$  جواب  $x_j$  را مغلوب می‌سازد. سپس مقدار شایستگی هر جواب مغلوب از طریق رابطه‌ی ۱۶ محاسبه می‌شود:

$$F(x_i) = \sum_{x_i \succ x_j} S(x_j) - \sum_{x_k \succ x_i} S(x_k), \quad \forall x_j, x_k \in CP_t \wedge j \neq i \neq k \quad (16)$$

به عبارت دیگر مقدار شایستگی هر جواب مغلوب  $x_i$  برابر است با تفاضل مجموع مقدار توان تمام جواب‌هایی که جواب  $x_i$  مغلوب می‌سازد با مجموع تمام جواب‌هایی که بر جواب  $x_i$  غالب‌اند. در این رویکرد به دلیل عدم استفاده از هیچ سازوکار حفظ تنوع دیگری در میان جواب‌های نامغلوب، به محاسبات کمتر نیاز است.

بعد از محاسبه‌ی مقدار شایستگی تمام جواب‌های جمعیت و مقایسه‌ی آن‌ها سه سناریو افقان می‌افتد: ۱. دو جواب با رتبه‌های مختلف مقایسه می‌شوند، در این شرایط جواب با رتبه‌ی بهتر برتری دارد. ۲. دو جواب رتبه‌های برابر اما مقدار شایستگی متفاوت دارند، در این حالت جواب با مقدار شایستگی بالاتر انتخاب می‌شود. ۳. دو جواب دارای رتبه و مقدار شایستگی برابرند، که در این صورت یکی از آن‌ها به صورت تصادفی انتخاب می‌شود.

#### ۲.۴. نخبه‌گرایی و تعدیل جمعیت

با ترکیب جمعیت نسل قبلی و جمعیت حاصل از تولید فرزندان این فرصت فراهم می‌شود که جواب‌های برتر در نسل‌های بعدی حفظ، و از جواب‌های نامغلوب (جواب‌های با رتبه دو) چشم‌پوشی شود. اگر اندازه جمعیت خیلی بزرگ و در طول نسل‌های مختلف ثابت باشد، به کاهش نخبه‌گرایی در نسل‌های اولیه منجر می‌شود. علاوه بر این وجود عامل نوسان در تعداد جواب‌های نامغلوب در طول نسل‌های مختلف نیازمند یک استراتژی انداره جمعیت انطباقی برای تأکید بر شدت نخبه‌گرایی روی جواب‌های نامغلوب است. اگر شدت نخبه‌گرایی بسیار بالا باشد، ممکن است همگرایی زدرس افقان بیفتند و اگر شدت نخبه‌گرایی بسیار کم باشد، بنا براین همگرایی بسیار دیر افقان بیفتند و هزینه‌ی محاسباتی بالایی را تحمیل کند. بنابراین FastPGA یک عملگر تعدیل را برای تنظیم اندازه جمعیت به صورت پویا و تا زمانی که اندازه جمعیت به یک مقدار از پیش تعیین شده برسد، به کار می‌گیرد. عملگر تعدیل

## ۵. نتایج محاسباتی

### ۱.۵. تولید مثال‌های نمونه

به منظور بررسی و آزمایش عملکرد الگوریتم‌های ارائه شده باید از تعدادی از مثال‌های معیار استفاده کرد. از آنجا که در پیشیه تحقیق هیچ‌گونه مثالی برای مسئله‌ی مورد بحث نیست، لذا در ابتدا به تولید چندین مثال برای مسئله‌ی مطروخه خواهیم پرداخت. تولید مثال‌های مربوط به این بحث در کل به دو بخش تولید داده‌های مربوط به پارامترهای اساسی و تولید شبکه مربوطه تقسیم می‌شود.

### ۱.۵.۱. تولید داده‌های مربوط به پارامترهای اساسی

تولید داده‌های مربوط به پارامترها براساس یک فرایند تصادفی و با رعایت منطق بین آن‌ها انجام گرفته است. برای نمونه در تولید حالت‌های مختلف برای اجرای فعالیت‌ها حالتی یافت نمی‌شود که در آن به طور همزمان هزینه و زمان مربوط به یک حالت اجرا از هزینه و زمان مربوط به حالت اجرای دیگر کم و کمیت آن از کیفیت دیگری بیشتر باشد. در اینجا مثال‌هایی با ابعاد مختلف تولید شده که در ادامه به اختصار نحوی تولید مثال ششم بیان شده است. در این مثال، به هر فعالیت به صورت تصادفی وزنی از مجموعه‌ی:

$$\{ \frac{1}{160}, \frac{2}{160}, \frac{3}{160}, \frac{4}{160}, \frac{5}{160}, \frac{6}{160}, \frac{7}{160}, \frac{8}{160}, \frac{9}{160} \}$$

تخصیص یافته است، با این محدودیت که مجموع اوزان باید برابر ۱ شود. تعداد حالت‌های اجرای فعالیت‌ها به صورت تصادفی از توزیع یکنواخت گسته در بازه [۲، ۵] انتخاب شده‌اند. هرکدام از حالت‌های اجرا شامل سه پارامتر زمان، هزینه و کیفیت هستند. زمان انجام هر حالت اجرای فعالیت به طور تصادفی از توزیع یکنواخت گسته در بازه [۱۰، ۶۰] نمونگری شده است. سپس مدت زمان‌های اجرا به صورت نزولی برای هر فعالیت مرتب می‌شود. هزینه‌ی متناظر با حالت اجرای فعالیت‌ها با طولانی‌ترین زمان اجرای آنها به صورت تصادفی از توزیع یکنواخت گسته در بازه [۱۲۰، ۵۰] انتخاب شده‌اند. هزینه‌ی دیگر حالت‌های اجرا بدین صورت تعیین می‌شود که اگر  $c_k$  هزینه‌ی انجام یک فعالیت در حالت اجرای  $k$  باشد و  $t_k$  نیز زمان اجرای آن فعالیت در حالت  $k$  باشد آنگاه برای هر فعالیت هزینه‌ی اجرای آن در حالت  $k$  به صورت تصادفی واژ توزیع یکنواخت گسته در بازه  $(1, 4(t_k - t_{k-1}) + c_{k-1} + 4(t_k - t_{k-1}))$  انتخاب می‌شود.

برای کیفیت انجام پروژه چهار شاخص لحاظ شده که میزان اهمیت هرکدام از آن‌ها برای فعالیت‌های مختلف متفاوت است. این اوزان به صورت تصادفی به‌گونه‌یی به شاخص‌های کیفیت تخصیص داده شده که مجموع آن‌ها برای هر فعالیت برابر با ۱ شود. فرض می‌شود که کاهش زمان اجرای یک فعالیت الزاماً باعث کاهش کیفیت آن نمی‌شود، لذا مقدار مربوط به شاخص‌های کیفیت انجام هر فعالیت در هر حالت اجرا به صورت تصادفی از توزیع یکنواخت گسته در بازه [۶۰، ۹۹] تولید شده است.

### ۱.۵.۲. تولید شبکه

ساختار کلی پروژه را با استفاده از یک شبکه گرهی نمایش می‌دهیم که در آن گرههای بین‌گر فعالیت‌ها، و کمان‌ها نشان‌دهنده‌ی روابط پیش‌نیازی بین فعالیت‌ها هستند. سابقاً تصور می‌شد که هر قدر تعداد کمان‌ها بیشتر باشد، شبکه‌ی مربوطه پیچیده‌تر است (پیچیدگی<sup>۱۸</sup> یک شبکه برابر است با نسبت تعداد کمان‌های غیر زائد به تعداد گرههای آن)، اما محققین خلاف این را بیان کردند<sup>[۲۲]</sup> چرا که ممکن است تعداد زیادی از این کمان‌ها زائد و اضافی باشد. آن‌ها چهار حالت مختلف را برای زائد بودن کمان ارائه کردند؛ در مثال‌های تولید شده سعی بر آن بوده که از تولید کمان‌های زائد

که از جمله عملکردهای تقاطع مربوط به نمایش عدد صحیح است — استفاده شده است. در تقاطع یکنواخت، دنباله‌یی از متغیرهای تصادفی از توزیع یکنواخت در بازه [۱، ۵]<sup>۱۹</sup> و به تعداد زن‌های کروموزوم تولید می‌شود. در هر موقعیت اگر مقدار کم‌تر از پارامتر  $P_c$  باشد، زن از والد اول و در غیر این صورت از والد دوم به ارت برده می‌شود. فرزند دوم با فرایندی عکس این فرایند تولید می‌شود (شکل ۴).

### ۴.۳.۴. عملکر جهش

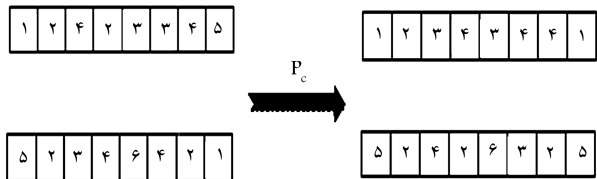
همانند عملکر تقاطع، نوع عملکر جهش برای جهش نیز به نوع نمایش بستگی دارد. در اینجا ما از عملکر جهش جایگزینی تصادفی<sup>۲۰</sup> — که از روش‌های رایج برای نمایش‌های عدد صحیح است — استفاده کرده‌ایم. در این عملکر ابتدا یک رشته از اعداد تصادفی به طول تعداد زن‌ها در بازه [۱، ۵]<sup>۲۱</sup> تولید می‌شود، در هر موقعیت از رشته اگر عدد تصادفی مربوطه از مقدار نرخ جهش کم‌تر باشد یک مقدار جدید به طور تصادفی از مجموعه‌ی مقادیر مجاز در هر موقعیت، انتخاب شده و جایگزین مقدار زن در آن موقعیت می‌شود. در غیر این صورت مقدار زن بدون تغییر باقی می‌ماند. در شکل ۵، جهش برای زن‌های ۲، ۵ و ۷ اتفاق افتاده است.

### ۴.۳.۵. سازوکار انتخاب والد

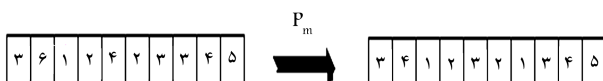
در ساختار کلی الگوریتم دو مرحله در چرخه‌ی تکامل وجود دارد که در آن‌ها رقابت می‌شوند برای انتخاب افراد برای شرکت در تولید مثل (انتخاب والد): ۱. مرحله‌ی انتخاب افراد برای بقا در نسل بعدی (انتخاب بازمانده). در الگوریتم ژنتیک افراد با برازنده‌گی بالاتر شناس بیشتری برای والد شدن نسبت به افراد با برازنده‌گی پایین‌تر دارند. در اینجا برای انتخاب والدین از مسابقه‌ی باینری<sup>۲۲</sup> استفاده شده است. در این نوع انتخاب، در هر مرحله ۲ جواب انتخاب، و از میان آن‌ها بهترین فرد از لحاظ برازنده‌گی به عنوان والد انتخاب می‌شود. این کار تا انتخاب تعداد والدین لازم تکرار می‌شود.

### ۴.۳.۶. تولید جمعیت اولیه

هر زن با تخصیص یک حالت اجرا از بین مجموعه‌ی حالت‌های اجرای ممکن برای هر فعالیت به صورت تصادفی تشکیل می‌شود. این کار به تعداد جمعیت انجام می‌شود تا جمعیت اولیه به دست آید. متنظر از حالت‌های اجرای ممکن برای یک فعالیت، مجموعه‌ی حالت‌هایی است که از کیفیت لازم برای انجام آن فعالیت برخوردار است. به همین منظور قبل از تولید جمعیت اولیه، با استفاده از اجرای یک تابع پیش‌پردازش از ورود حالت‌های اجرایی ناکارآمد که مجموع وزنی کیفیت شاخص‌های مربوط به آن از حد معینی پایین‌تر باشد به هر مرحله از تولید جمعیت ممانتع به عمل آمده است. لذا همواره تمامی جواب‌هایی که تولید می‌شوند، جواب‌های شدنی هستند.



شکل ۴. مثالی از فرایند تقاطع یکنواخت.



شکل ۵. مثالی از جهش جایگزینی تصادفی.

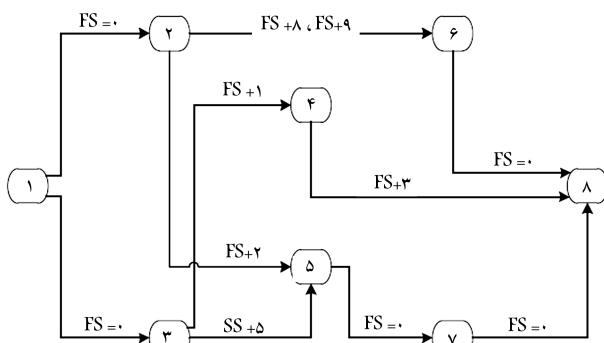
جدول ۱. پارامترهای مربوط به مثال‌های تولید شده.

C	کیفیت هر شاخص در هر حالت اجرا	کیفیت هر شاخص های کیفیت در هر حالت اجرا	تعداد شاخص های کیفیت	تعداد هزینه	زمان	تعداد حالات های اجرا	تعداد فعالیت ها	شماره مسئله
۱/۴۳	[۶۰, ۷۵]	[۶۰, ۹۹]	۲	[۱۲۰, ۱۹۰]	[۵, ۳۰]	[۲, ۹]	۷	۱
۱/۵۶	[۶۰, ۷۵]	[۶۰, ۹۹]	۵	[۱۰, ۲۰]	[۱, ۱۵]	[۲, ۴]	۹	۲
۲/۰۶	[۶۰, ۷۵]	[۶۰, ۹۹]	۲	[۳۰, ۶۰]	[۱, ۲۰]	[۲, ۷]	۱۵	۳
۲/۲۹	[۶۰, ۷۵]	[۶۰, ۹۹]	۳	[۲۵۰, ۴۸۰]	[۵, ۴۰]	[۲, ۶]	۲۱	۴
۲	[۶۰, ۷۵]	[۶۰, ۹۹]	۴	[۵۰, ۱۴۰]	[۱۵, ۵۰]	[۲, ۶]	۳۱	۵
۱/۹	[۶۰, ۷۵]	[۶۰, ۹۹]	۴	[۵۰, ۱۲۰]	[۱۰, ۶۰]	[۲, ۵]	۴۰	۶
۱/۸	[۶۰, ۷۵]	[۶۰, ۹۹]	۳	[۸۰, ۱۸۰]	[۳۰, ۸۰]	[۲, ۵]	۵۰	۷

روش NSGA-II و Fast PGA بیان شده است. لازم به ذکر است که در این جدول  $n$  بیان‌گر تعداد فعالیت‌های مربوط هر مسئله است. آزمایشات روی مسائل شماره ۲ و شماره ۶ تولید شده به‌منظور بررسی و تنظیم پارامترها برای مسائل با ابعاد کوچک (مسائل شماره ۱، ۲، ۳ و ۴) و مسائل با ابعاد متوسط و نسبتاً بزرگ (مسائل شماره ۵، ۶ و ۷) انجام گرفته است. در جداول ۳ و ۴ مقادیر تنظیم پارامتر برای دو روش ارائه شده که در آن‌ها مقدار هر پارامتر با ثابت نگهداشتن سایر پارامترها در کمترین مقدار خود، براساس تعداد نقاط نامغلوب شناسایی شده در تعداد مشخصی تکرار، تنظیم شده است.

### ۳. اعتبارسنجی الگوریتم‌های پیشنهادی

به‌منظور حصول اطمینان از این که نتایج حاصل از مدل کاملاً به سمت جبهه‌ی پارتویی واقعی مسئله نیل می‌کند و پاسخ‌ها از پراکندگی لازم برخوردارند، باید میزان کارایی روش‌های مورد استفاده در اجزای الگوریتم‌ها و همچنین اعتبار جواب‌های به دست آمده مورد سنجش قرار گیرد. به‌همین منظور سه مثال در ابعاد نسبتاً کوچک تولید شده و با جستجوی تمام فضای ممکن در این مسائل جبهه‌ی واقعی آن‌ها شناسایی شده و با نتایج حاصل از اجرای الگوریتم‌ها مقایسه می‌شوند. در شکل ۶ شبکه‌ی مربوط به اولین مثال، و در جدول ۵ مشخصات مثال‌های تولیدی و نتایج مربوط به جستجوی کامل فضای جواب و همچنین حل آن‌ها با استفاده از دو



شکل ۶. شبکه مثال تولیدی اول جهت ارزیابی الگوریتم‌های حل.

خودداری شود. از طرفی روابط بین فعالیت‌ها از نوع روابط پیش‌نیازی تعیین‌بافته است که در آن‌ها با توجه به این که روابط از نوع پیشنهادی قابلیت تبدیل به روابط از نوع کمینه و درجهت مخالف را دارند، در تولید شبکه‌های مربوطه فقط روابط پیش‌نیازی از نوع کمینه لحاظ شده است. در جدول ۱ پارامترهای مربوط به مثال‌های تولیدشده ثبت شده است.

### ۲.۵. تنظیم پارامترها

الگوریتم‌های فرابتکاری نسبت به پارامترهای خود بسیار حساس‌اند و تغییر پارامترها تأثیر بهسزایی بر کارایی و اثربخشی جستجوی دارند. الگوریتم‌های پیشنهادی در نوشتار حاضر با استفاده از زبان برنامه‌نویسی Matlab کد شده و در سیستم رایانه با مشخصات پردازش‌گر Core i7 ۲/۹۳ GHz و حافظه‌ی جانبی ۶ GB اجرا شده است. در جدول ۲ مقادیر پیشنهادی برای هریک از پارامترهای مربوط به دو

جدول ۲. مقادیر پیشنهادی برای تنظیم پارامترها.

نوع الگوریتم	پارامتر	مقادیر پیشنهادی
NSGA-II	نرخ جهش	۰,۳ ۰,۲ ۰,۱
	نرخ تقاطع	۰,۶ ۰,۵ ۰,۴
	تعداد جمعیت هر نسل	۱۰n ۷n ۵n
	a	۴n ۳n ۲n
Fast PGA	b	۱/۵ ۱ ۰,۵
	c	۴n ۳n ۲n
	d	۱ ۰,۵ ۰
	نرخ جهش	۰,۳ ۰,۲ ۰,۱
پیشنهادی تعداد جمعیت	نرخ تقاطع	۰,۶ ۰,۵ ۰,۴
	تعداد جمعیت	۱۰n ۷n ۵n
	پیشنهادی تعداد جمعیت فرزندان	۱۰n ۷n ۵n

جدول ۳. مقادیر تنظیم پارامترهای الگوریتم FastPGA

بیشینه تعداد فرزندها	نرخ جمعیت	نرخ نقاطع	نرخ جهش	$d$	$c$	$b$	$a$	مثالهای کوچک	مثالهای متوسط و نسبتاً بزرگ
$5n$	$7n$	$0,5$	$0,1$	$0,5$	$3n$	$0,5$	$4n$	مثالهای کوچک	مثالهای متوسط و نسبتاً بزرگ
$5n$	$7n$	$0,4$	$0,1$	$1$	$3n$	$0,5$	$3n$	مثالهای کوچک	مثالهای متوسط و نسبتاً بزرگ

الگوریتم نشان داده شده است. برای نمونه پس از بررسی کامل فضای جواب مثال اول مشخص شد که تعداد ۱۵ نقطه‌ی نامغلوب برای این مثال وجود دارد (جدول ۶). چنان که مشاهده می‌شود این جواب‌ها هیچ‌گونه برتری نسبت به یکدیگر ندارند و جوابی یافت نمی‌شود که در تمامی اهداف از جواب دیگر بهتر باشد. پراکندگی این نقاط در فضای جواب در شکل ۷ الف نشان داده شده است. مسئله‌ی فوق توسط دو الگوریتم NSGA-II و FastPGA و با مد نظر قرار دادن پارامترهای تعیین شده در بخش تنظیم پارامتر حل شد. الگوریتم‌های NSGA-II و FastPGA در مدت حدوداً ۴ ثانیه توансند به ترتیب ۱۴ و ۱۳ نقطه‌ی از نقاط نامغلوب را شناسایی کنند. مشاهده‌ی نتایج حاصل از دو مثال دیگر می‌توان نتیجه‌گرفت که صحت و توئانی دو الگوریتم در رسیدن به جواب‌های بهینه قابل قبول است. در شکل‌های ۷ ب و ۷ج نقاط نامغلوب شناسایی شده در دو الگوریتم نمایش داده شده است.

#### ۴.۵. معیارهای ارزیابی و مقایسه‌ی الگوریتم‌ها

به منظور مقایسه‌ی کارایی دو الگوریتم، از چندین شاخص کاربردی برای مقایسه‌ی الگوریتم‌های چنددهفه استفاده خواهیم کرد. این شاخص‌ها عمدتاً به دو دسته تقسیم می‌شوند: دسته‌ی اول بر همگرایی و کیفیت جواب‌ها تأکید دارد و دسته‌ی دوم پراکندگی و گسترش جواب‌ها را در فضای حل مورد توجه قرار می‌دهد. در اینجا از چهار شاخص برای مقایسه‌ی دو الگوریتم استفاده شده است:

۱. تعداد جواب‌های پارتو [۲۳]: NOS

۲. بیشترین گسترش [۲۴]: MS

۳. میانگین فاصله از جواب ایده‌آل [۲۵]: MID

۴. تنوع [۲۶]: DM

#### ۵. نتایج محاسباتی

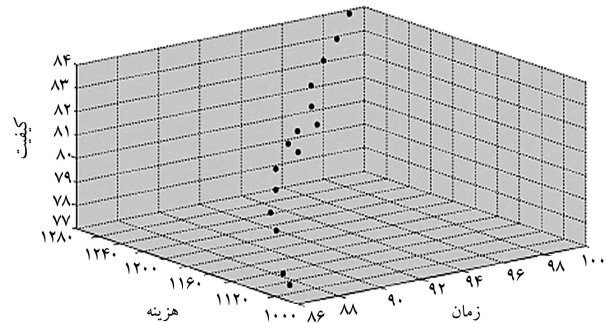
در این بخش به حل مثال‌های تولید شده در بخش ۱.۵. با دو الگوریتم NSGA-II و FastPGA می‌پردازیم. به منظور ارزیابی و مقایسه‌ی دو الگوریتم، از معیارهای بخش ۴.۵. استفاده می‌شود. هر مثال توسط هر الگوریتم ۱۰ بار اجرا شده و جواب‌های نامغلوب این ۱۰ اجرا برای مقایسه نتایج در نظر گرفته می‌شود. مقایسه‌ی الگوریتم‌ها در دو بخش مثال‌های کوچک (مثال‌های ۱ تا ۴) و مثال‌های متوسط و بزرگ (مثال‌های ۵ تا ۷) ارائه شده است.

#### ۵.۱. ارزیابی عملکرد الگوریتم‌های پیشنهادی در مسائل کوچک

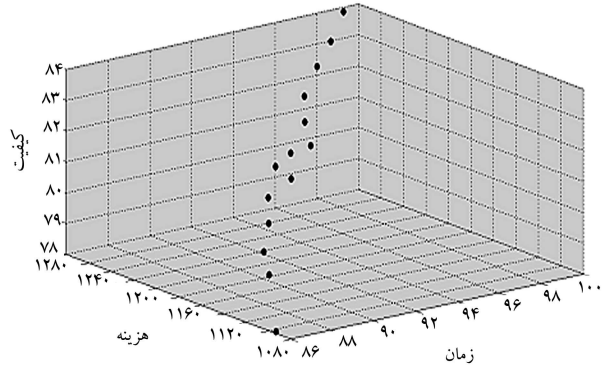
در این قسمت عملکرد کارایی دو الگوریتم NSGA-II و FastPGA برای مثال‌های ۱، ۲، ۳ و ۴ مورد سنجش و مقایسه قرار می‌گیرد. در جدول ۷ بهترین جواب‌های کسب شده (ترکیب‌های سه‌تایی از زمان، هزینه و کیفیت) در ۱۰ مرتبه اجرا و همچنین میانگین جواب‌های به دست آمده از این تعداد اجرا برای دو الگوریتم مورد استفاده، ارائه شده است. همچنین در جدول ۸ مقادیر مربوط به شاخص‌های مقایسه‌ی برای هر دو الگوریتم ارائه شده است. زمان اجرا برای دو الگوریتم یکسان

جدول ۴. مقادیر تنظیم پارامترهای الگوریتم NSGA-II

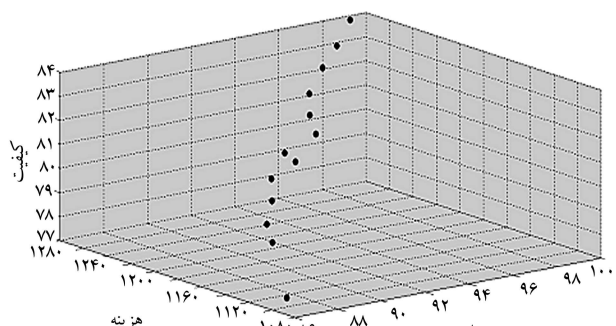
مثالهای کوچک	تعداد جمعیت هر نسل	نرخ نقاطع	نرخ جهش
مثالهای کوچک	$10n$	$0,4$	$0,2$
مثالهای متوسط و نسبتاً بزرگ	$7n$	$0,5$	$0,3$



(الف) پراکندگی نقاط پارتو در فضای جواب با استفاده از روش شمارش کامل؛



(ب) پراکندگی نقاط نامغلوب شناسایی شده در الگوریتم NSGA-II؛



(ج) پراکندگی نقاط نامغلوب شناسایی شده در الگوریتم FastPGA.

شکل ۷. پراکندگی نقاط نامغلوب.

جدول ۵. مشخصات و نتایج مربوط به مثال‌های تولید شده جهت اعتبارسنجی الگوریتم‌های حل.

فعالیت‌ها	تعداد فعالیت‌ها	تعداد مدتها	ضریب پیچیدگی	تعداد کل نقاط شدنی	تعداد کل نقاط	کل زمان (ثانیه)	زمان اجرای دو الگوریتم	تعداد نقاط نامغلوب کشف شده توسط الگوریتم
				فضای جواب	نامغلوب			NSGA-II
۸	[۲, ۵]	۱,۳۸	۵۷۶ <sup>۰</sup>	۱۵	۲۸۷	۱۴	۱۳	۴
۹	[۲, ۵]	۱,۵	۴۰۵۰ <sup>۰</sup>	۳۷	۲۳۷ <sup>۰</sup>	۳۱	۲۸	۳۰
۱۲	[۴, ۲]	۱,۴۲	۱۸۶۶۲۴	۱۲	۲۰۷۲ <sup>۰</sup>	۱۲	۱۱	۳۵

در نظر گرفته شده، لذا از مقایسه‌ی زمان‌های اجرا صرف نظر شده است و تنها مقادیر آن‌ها در مثال‌های مختلف در ستون دوم نشان داده شده است.

از جدول ۸ می‌توان دریافت که الگوریتم FastPGA در یافتن تعداد نقاط

پارتویی در تمامی مسائل به حز مسئله‌ی شماره ۴ موفق تر از الگوریتم NSGA-II عمل می‌کند. در ارتباط با میانگین فاصله از جواب ایده‌آل نمی‌توان در مرور برتری یک الگوریتم نسبت به دیگری اظهار نظر قطعی کرد. برای معیارهای بیشترین گسترش و توع که دلالت بر پراکندگی و توزیع مناسب جواب‌ها دارند برتری الگوریتم NSGA-II بر FastPGA محسوس است.

**۲.۵.۵ ارزیابی عملکرد الگوریتم‌های پیشنهادی در مسائل متوسط و بزرگ**  
در این قسمت مانند بخش قبلی کارایی الگوریتم‌های پیشنهادی در ارتباط با سه مسئله‌ی ۵، ۶ و ۷ مورد بررسی قرار می‌گیرد. در جدول ۹ بهترین جواب‌های کسب شده و همچنین میانگین جواب‌های به دست آمده برای دو الگوریتم ارائه شده است. مقادیر مربوط به شاخص‌های مقایسه‌ی برای دو الگوریتم نیز در جدول ۱۰ نمایش داده شده است.

با توجه به نتایج ارائه شده در جدول ۱۰ می‌توان دریافت که روش NSGA-II در ارتباط با کیفیت و تعداد جواب‌های نامغلوب نتایج بهتری را از خود نشان داده در حالی که این امر در روش FastPGA در ارتباط با گسترش جواب‌ها صادق است. مطابق انتظار، با افزایش ابعاد مسائل و بزرگ‌تر شدن فضای جواب روش NSGA-II در مقایسه با روش FastPGA تعداد نقاط پارتویی (ازدیک به مرز پارتو)

جدول ۶. مقادیر توابع هدف مربوط به نقاط نامغلوب مثال اول.

نقطه نامغلوب	زمان	هزینه	کیفیت
۸۳,۹۶	۱۲۷۵	۹۹	۱
۸۳,۶۶	۱۲۴۹	۹۷	۲
۸۳,۴۸	۱۲۲۴	۹۵	۳
۸۱,۸	۱۱۶۳	۹۰	۴
۸۳,۱۸	۱۱۹۸	۹۳	۵
۸۲	۱۱۷۳	۹۱	۶
۸۱,۵	۱۱۳۷	۸۸	۷
۸۲,۷۶	۱۱۷۹	۹۲	۸
۸۱,۵۷	۱۱۵۴	۹۰	۹
۸۱,۰۷	۱۱۱۸	۸۷	۱۰
۸۰,۵۱	۱۱۰۴	۸۶	۱۱
۸۲,۰۷	۱۱۷۴	۹۲	۱۲
۷۹,۸۲	۱۰۹۹	۸۶	۱۳
۷۸,۰۷	۱۰۹۳	۸۶	۱۴
۷۷,۷	۱۰۸۷	۸۶	۱۵

جدول ۷. نتایج محاسباتی دو الگوریتم برای مثال‌های ۱ تا ۴.

مسئله	نوع الگوریتم	بهترین جواب‌های به دست آمده			میانگین جواب‌های به دست آمده		
		کیفیت	هزینه	زمان	کیفیت	هزینه	زمان
۱	NSGA-II	۸۳,۰۳	۱۹۵۱,۳۷	۷۶,۸۲	۸۵,۴۷	۱۹۳۶,۵۹	۷۳,۰۹
۱	Fast-PGA	۸۲,۳۱	۱۹۴۷,۷۲	۷۵,۵۳	۸۳,۳۳	۱۹۳۷,۸۲	۷۳,۴۳
۲	NSGA-II	۸۸,۶۸	۶۱۰,۸۸	۴۲,۳۴	۹۱,۳	۶۰۰,۱	۴۰,۴۴
۲	Fast-PGA	۸۸,۹۴	۶۱۴,۵۵	۴۲,۷۴	۸۹,۷۹	۶۰۷	۴۱,۷۳
۳	NSGA-II	۸۴,۷۹	۱۳۴۸,۶۸	۵۸,۹۹	۸۵,۲۶۲	۱۳۳۹,۵۲	۵۷,۶
۳	Fast-PGA	۸۴,۶۸	۱۳۴۵,۱۸	۵۸,۵۷	۸۴,۸۹	۱۳۳۶,۳۳	۵۷,۱۸۳
۴	NSGA-II	۸۶,۴۶	۱۰۳۱۶,۴۱	۱۷۲,۲۷	۸۶,۹۶	۱۰۲۵۳,۲۱	۱۷۱,۴۰۵
۴	Fast-PGA	۸۶,۲۹	۱۰۳۱۰,۱۵	۱۷۲,۸۷	۸۶,۶۲	۱۰۲۸۸,۱۳	۱۷۱,۳۷

جدول ۸. معیارهای مقایسه‌ی دو الگوریتم NSGA-II و FastPGA برای مثال‌های ۱ تا ۴.

نوع	میانگین جواب‌های ایده‌آل	میانگین فاصله از بیشترین گسترش	تعداد جواب‌های پارتو	زمان اجرا (ثانیه)	نوع الگوریتم	مسئله
۱۲,۳۲	۵۰,۴۶	۱۱۳,۵۲	۲۹	۱۰	NSGA-II	۱
۱۲,۵	۴۴,۷۶	۱۱۴,۲۲	۳۰	۱۰	Fast-PGA	
۱۰,۰۶	۲۷,۳۴	۷۷,۷۲	۲۳	۱۰	NSGA-II	۲
۱۰,۲۴	۳۰,۰۸	۸۰,۹۳	۲۴	۱۰	Fast-PGA	
۸,۹۴	۳۱,۴۶	۶۳,۲۹	۱۷	۳۰	NSGA-II	۳
۹,۰۲	۲۷,۷۹	۶۵,۲۱	۲۵	۳۰	Fast-PGA	
۲۲,۹۶	۲۰,۲,۷	۴۷۱,۱۲	۱۲۲	۱۸۰	NSGA-II	۴
۲۴,۰۱	۲۱۷,۶۲	۵۴۰,۱۹	۱۱۸	۱۸۰	Fast-PGA	

جدول ۹. نتایج محاسباتی دو الگوریتم برای مثال‌های ۵ تا ۷.

مسئله	بهرترین جواب‌های به دست آمده			نوع الگوریتم		
	کیفیت	هزینه	زمان	کیفیت	هزینه	زمان
۸۷,۱۳	۶۱۹۵,۸	۲۸۶,۵۶	۸۷,۵۴	۶۱۲۸,۷	۲۸۳	NSGA-II
۸۷,۰۸	۶۲۴۰,۵	۲۹۱,۷	۸۷,۳۴	۶۲۰۹,۵	۲۸۹,۷۱	Fast-PGA
۸۲,۶۵	۸۱۰۰,۳	۴۲۱,۰۱	۸۲,۷۸	۸۰۵۶,۹	۴۱۶,۳۸	NSGA-II
۸۲,۶۶	۸۱۹۸,۲	۴۳۰,۸۲	۸۲,۷۳	۸۱۴۱,۴	۴۲۶,۵۴	Fast-PGA
۸۵,۳۲	۱۲۴۷۷	۵۶۸,۹۸	۸۵,۹۴	۸۱۱۰,۷	۴۲۱,۳۶	NSGA-II
۸۵,۵۱	۱۳۴۹۸	۶۰۶,۷۱	۸۵,۶۵	۱۳۴۴۶	۲۲,۷۸۲	Fast-PGA

جدول ۱۰. معیارهای مقایسه‌ی دو الگوریتم NSGA-II و FastPGA برای مثال‌های ۵ تا ۷.

نوع	میانگین فاصله از جواب ایده‌آل	بیشترین گسترش	تعداد جواب‌های پارتو	زمان اجرا (ثانیه)	نوع الگوریتم	مسئله
۲۰,۰۵	۱۱۴,۱۸	۳۷۸,۶	۵۳	۶۰۰	NSGA-II	۵
۲۴,۳	۱۵۹,۰۹	۵۴۵,۸۲	۵۱	۶۰۰	Fast-PGA	
۲۳,۸۱	۱۸۳,۸۹	۵۲۵,۰۶	۱۰۴	۹۰۰	NSGA-II	۶
۲۹,۱۲	۲۷۱,۳۲	۷۶۱,۵۸	۵۳	۹۰۰	Fast-PGA	
۲۲,۳۵	۲۰۴,۰۹	۴۹۳,۱۳	۱۱۴	۱۰۰۰	NSGA-II	۷
۲۸,۰۷	۲۴۹,۹۵	۷۲۴,۶	۴۳	۱۰۰۰	Fast-PGA	

بالای الگوریتم، روش FastPGA در مواردی کاربرد دارد که ارزیابی جواب‌ها از نظر محاسباتی یا مالی هزینه‌بر است، یا بدنبال یافتن جواب‌های خوب در یک مدت زمان کوتاه هستیم.

## ۶. نتیجه‌گیری

با توجه به مطالعات انجام شده می‌توان به اهمیت بسیار زیاد سه عامل زمان، هزینه و کیفیت در قراردادهای امروزی پی برد. با در نظر گرفتن هر سه عامل به طور

بیشتری را می‌یابد، که عمل آن همگرایی سریع روش FastPGA در دست‌یابی به نقاط نامغلوب است و تکرارهای بالاتر در این روش منجر به تولید جواب‌های تکراری می‌شود. چنان که مشاهده شد در مورد مثال‌های با ابعاد کوچک، دو الگوریتم تقریباً عملکرد برابری را از خود به نمایش گذاشتند و اختلاف موجود در نتایج آن‌ها قابل چشم‌پوشی است، اما با افزایش ابعاد مسئله، رفتارهای این تفاوت‌ها بیشتر بروز یافت. البته نمی‌توان نقش مدت زمان اجرا را در دست‌یابی به جواب‌های خوب نادیده گرفت. واضح است که هرقدر زمان اجرا را افزایش دهیم در واقع به سود روش NSGA-II عمل می‌کنیم و در صورت کاهش مدت اجرا گردونه‌ی رقابت به نفع روش FastPGA خواهد چرخید. البته چنان که عنوان شد، با توجه به همگرایی

استفاده در مسائل چندهدفه هستند، استفاده کردیم. پس از تنظیم پارامترهای مربوطه، به مقایسه‌ی دو الگوریتم برای چندین مثال تولید شده در ابعاد مختلف و با استفاده از چندین شاخص مقایسه‌ی پرداختیم. در نهایت نتایج محاسباتی و تحلیل آن‌ها برای مثال‌های مختلف ارائه شد.

به عنوان توسعه‌ی برا پژوهش‌های آتی می‌توان مدل ارائه شده در این تحقیق را در یک مطالعه موردنی واقعی پیاده‌سازی کرد و به بررسی میزان کارایی مدل و روش‌های حل ارائه شده پرداخت. از طرفی ممکن است هر کدام از عوامل زمان، هزینه و کیفیت با عدم قطعیت همراه باشند که در این صورت استفاده از منطق فازی به عنوان یک ابزار قوی در بررسی عدم قطعیت‌ها می‌تواند مورد توجه قرار گیرد.

همزمان در مدل‌های برنامه‌ریزی، و همچنین با نزدیک‌سازی محدودیت‌های مسئله به محدودیت‌های موجود در عالم واقعیت، بدون تردید می‌توان نتایج سودمند و جواب‌های دقیق‌تری دریافت کرد. به همین منظور در این مقاله مسئله‌ی تبادل زمان - هزینه - کیفیت در حالت گسسته و با محدودیت‌های پیش‌نیازی تعیین‌یافته مورد مطالعه قرار گرفته است، که در آن برای هر فعالیت چندین شیوه اجراء تعریف شده و هر شیوه‌ی اجرا نیز دارای زمان، هزینه و کیفیت متفاوتی است. به دلیل این که مسئله‌ی موازنی زمان - هزینه - کیفیت در حالت گسسته جزء مسائل NP-hard بوده و با افزایش ابعاد مسئله، زمان حل آن به صورت نمایی افزایش می‌یابد، از الگوریتم‌های فرآیندکاری FastPGA و NSGA-II که ازجمله الگوریتم‌های مورد

## پابلوشت‌ها

1. non-dominated sorting genetic algorithm (NSGA-II)
2. fast Pareto genetic algorithm
3. critical path method
4. crash activity time
5. lag
6. discrete time-cost trade-off problem
7. the multi-mode problem with generalized precedence relations
8. time-switch constraints
9. discrete time-cost-quality trade-off problem
10. front
11. crowding distance
12. diversity
13. net strength value
14. exploitation
15. uniform crossover
16. random resetting
17. Binary tournament selection
18. complexity
19. number of Pareto solution
20. maximum spread or diversity
21. diversification metric

## منابع (References)

1. Kelly, J.E. and Walker, M.R. "Critical-path planning and scheduling: Mathematical basis", *European Journal of Operational Research*, **9**(3), pp. 296-320 (1961).
2. Fulkerson D. "A network flow computation for project cost curves", *Management Science*, **7**, pp. 167-178 (1961).
3. Moder, J.J., Phillips, C.R. and Davis, E.W., *Project Management with CPM, PERT and Precedence Diagramming* (3rd ed.) (1983).
4. Falk, J. and Horowitz, J. "Critical path problem with concave cost curves", *Management Science*, **19**, pp. 446-455 (1972).
5. Hindelang, T.J. and Muth, J.F. "A dynamic programming algorithm for decision CPM networks", *European Journal of Operational Research*, **27**(2), pp. 225-241 (1979).
6. Prabuddha, D., Dunne, E.J., Ghosh, J.B. and Wells, C.E. "Complexity of the discrete time-cost tradeoff problem for project networks", *European Journal of Operational Research*, **45**(2), pp. 302-306 (1997).
7. Liu, S.X., Wang, M.G. and Tang, L.X. "Genetic algorithm for the discrete time/cost trade-off problem in project network", *J. Northeastern Univ. (China)*, **21**(3), pp. 257-269 (2000).
8. Talbot, F.B. "Resource-constrained project scheduling with time-resource tradeoffs: The nonpreemptive case", *Management Science*, **28**, pp. 1197-1210 (1982).
9. Demeulemeester, E., De Reyck, B. and Herroelen, W. "The discrete time/resource trade-off problem in project networks: A branch-and-bound approach", *IIE Transactions*, **32**, pp. 1059-1069 (2000).
10. Vanhoucke, M., Demeulemeester, E. and Herroelen, W. "Discrete time/cost trade-offs in project scheduling with time-switch constraints", *Journal of the Operational Research Society*, **53**, pp. 741-751 (2002).
11. Babu, A.J.G. and Suresh, N. "Project management with time-cost and quality considerations", *European Journal of Operational Research*, **88**, pp. 320-327 (1996).
12. Khang, D.B. and Myint, Y.M. "Time, cost, quality trade-off in project management: A case study", *International Journal of project Management*, **17**(4), pp. 249-256 (1999).
13. El-Rayes, K. and Kandil, A. "Time-cost-quality trade-off analysis for highway construction", *Journal of Construction, Engineering Management*, **131**(4), pp. 477-485 (2005).
14. Tareghian, H.R. and Taheri, S.H. "On discrete time, cost and quality trade-off problem", *Applied Mathematics and Computation*, **181**, pp. 1305-1312 (2006).
15. Iranmanesh, H., Skandari, M.R. and Allahverdiloo, M. "Finding Pareto optimal front for the multi-mode time, cost, quality trade-off in project scheduling", *International Journal of Computer and Information and System Science and Engineering*, **2**, pp. 118-122 (2008).

16. Ravi Shankar, N., Raju, M.M.K. and Himabindu, P. "Discrete time, cost and quality trade off problem with renewable and non renewable resources", *International Journal of Computational Science and Mathematics*, **2**(1), pp. 285-290 (2010).
17. Mehdizade, E., and Mohsenian, O., " Solving time cost and quality trade off project problem using multi objective stochastic programming", Sharif Industrial Engineering and Managment Journal, **28-1** (2), pp. 103-11, (in Persain) (2013).
18. Zhang, H. and Xing, F. "Fuzzy-multi-objective particle swarm optimization for time-cost-quality tradeoff in construction", *Automation in Construction*, **19**, pp. 1067-1075 (2010).
19. Shahsavari Pour, N., Modarres, M. and Tavakkoli-Moghaddam, R. "Time-cost-quality trade-off in project scheduling with linguistic variables", *Word Applied Sciences Journal*, **18**(3), pp. 404-413 (2012).
20. Eskandari, H. and Geiger, C.D. "A fast Pareto genetic algorithm approach for solving expensive multiobjective optimization problems", *J. Heuristics*, **14**, pp. 203-241 (2008).
21. Deb, K., Pratap, A., Agarwal, S. and Meyarivan, T.A. "Fast and elitist multiobjective genetic algorithm: NS-GAII", *IEEE Trans*, **6**, pp. 182-197 (2002).
22. Kolisch, R., Sprecher, A. and Drexl, A. "Characterization and generation of a general class of resource-constrained project scheduling problems", *Instituten fur Betriebswirtschaftslehre der Universitat Kiel, Management Science*, **41**(10), pp. 1693-1703 (1992).
23. Zitzler, E., Deb, K. and Thiele, L. "Comparison of multiobjective evolutionary algorithms: Empirical results", *Evolutionary Computation Journal*, **8**(2), pp. 125-148 (2000).
24. Zitzler, E. "Eveloutionary algorithms for multi-objective optimization: Method and applications", P.h.D Thesis, Dissertation ETH NO. 13398, Swaziland Federal Institute of Technology Zorikh, Switzerland (1999).
25. Zitzler, E. and Thiele, L. "Multiobjective optimization using evolutionary algorithms a comparative case study", In A.E. Eiben, T. Back, M. Schoenauer and H. P. Schwefel (Eds.), *Fifth International Conference on Parallel Problem Solving from Nature (PPSN-V)*, Berlin, Germany, pp. 292-301 (1998).
26. Zitzler, E. and Thiele, L., *An Evolutionary Algorithm for Multiobjective Optimization: The Strength Pareto Approach*, Technical Report, No. 43, Zurich, Switzerland: Computer Engineering and Networks Laboratory (TIK), Swiss Federal Institute of Technology (ETH) (1998).